砕波帯における CO2 濃度及び pH の時空間変化

Spatial and temporal properties of dissolved CO2 concentration and pH in the surf zone

北海道大学工学部土木工学科 〇学生員 渡辺康太 (Kouta Watanabe) 北海道大学大学院工学研究科准教授 正 員 渡部靖憲 (Yasunori Watanabe)

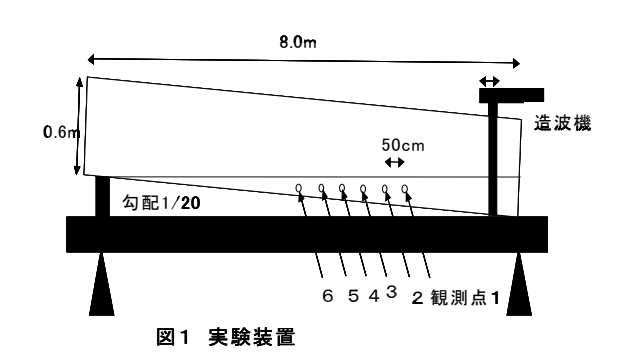
1. はじめに

現在人間活動により排出される二酸化炭素の約半分は 海洋に吸収されている。海水は約 pH8.1 程度の弱アルカ リ性であることが知られているが大気中の炭酸ガス濃度 の増加に伴い海水への二酸化炭素の溶解に伴う水素イオ ンの顕著な増加が近年指摘され、いわゆる「海の酸性 化」が深刻な問題となっている。水素イオンの増加は炭 酸イオン濃度の低下を引き起こし、炭酸カルシウムを主 成分とするプランクトンの殻やサンゴの骨格などが溶け 出し、それらの生物の生存が危ぶまれている。沿岸域に おける砕波はエアレーションを促進し、同時に生成され た乱れによる拡散によりガス輸送に大きな影響を与える ものと考えられる一方、沿岸域は外洋に比べて面積は非 常に小さいため大きな注目を浴びていた訳ではなかった。 しかしながら近年の海洋観測において、砕波帯では外洋 に比べて気泡径のレンジや気泡量が大きく、植物プラン クトンなどによる生物活動も盛んなため沿岸域での二酸 化炭素供給を支配しているものと考えられる。本研究で は、沿岸域における二酸化炭素交換の重要な役割を担っ ている砕波について二酸化炭素の輸送並びに砕波帯の pH 分布を実験により取得し、それらの時空間変化の特徴を 考察していく。

2. 実験装置と実験条件

実験は長さ8m、幅0.25m、高さ0.6mの全面透明アクリル製の可変勾配可視化造波水槽で行った(図1参照)。 勾配は1/20。巻き波(砕波波高7.5cm、周波数0.54Hz)と崩れ波(砕波波高6.5cm、周波数0.9Hz)の砕波形態について砕波点を含む6つの計測点においてガラス電極式CO2メーター(東亜DKK製)により溶存CO2濃度を、pHメータ(HORIBA製)によりPH分布を計測した。図1に示すように計測点1の水深は16cmでそこから岸方向へ50cm間隔で計測し、砕波点は両形態共に計測点3であった(図2参照)。密閉した水槽に(8L/s)で二酸化炭素を流すと同時に造波し、T分後に各計測点でのCO2濃度及びpHを計る(T=1~10)。計測終了後、溶液を不活性ガスで曝気し二酸化炭素を除去し測定を繰り返す。

	砕波形態	振幅	周期	砕波点	メディア	計測項目
case1	波なし				淡水	CO2 濃度
case2	2 巻き波	70cm	0.54Hz	計測点3	淡水	CO2 濃度
case	崩れ波	45cm	0.9Hz	計測点 3	海水	рН
case4	巻き波	70cm	0.54Hz	計測点3	海水	pН
表 1 宝						



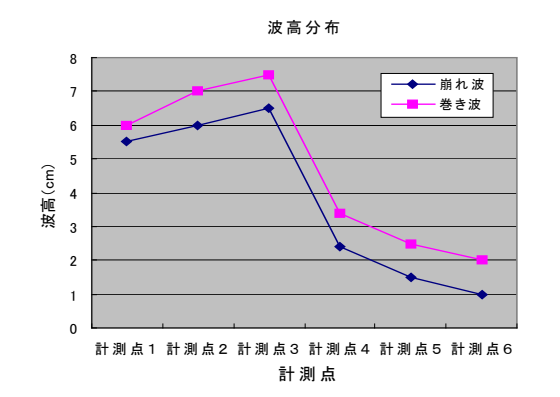
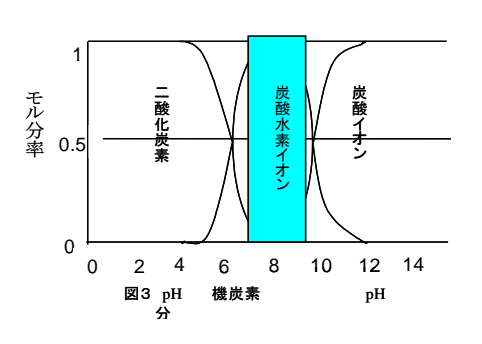


図2 波高分布

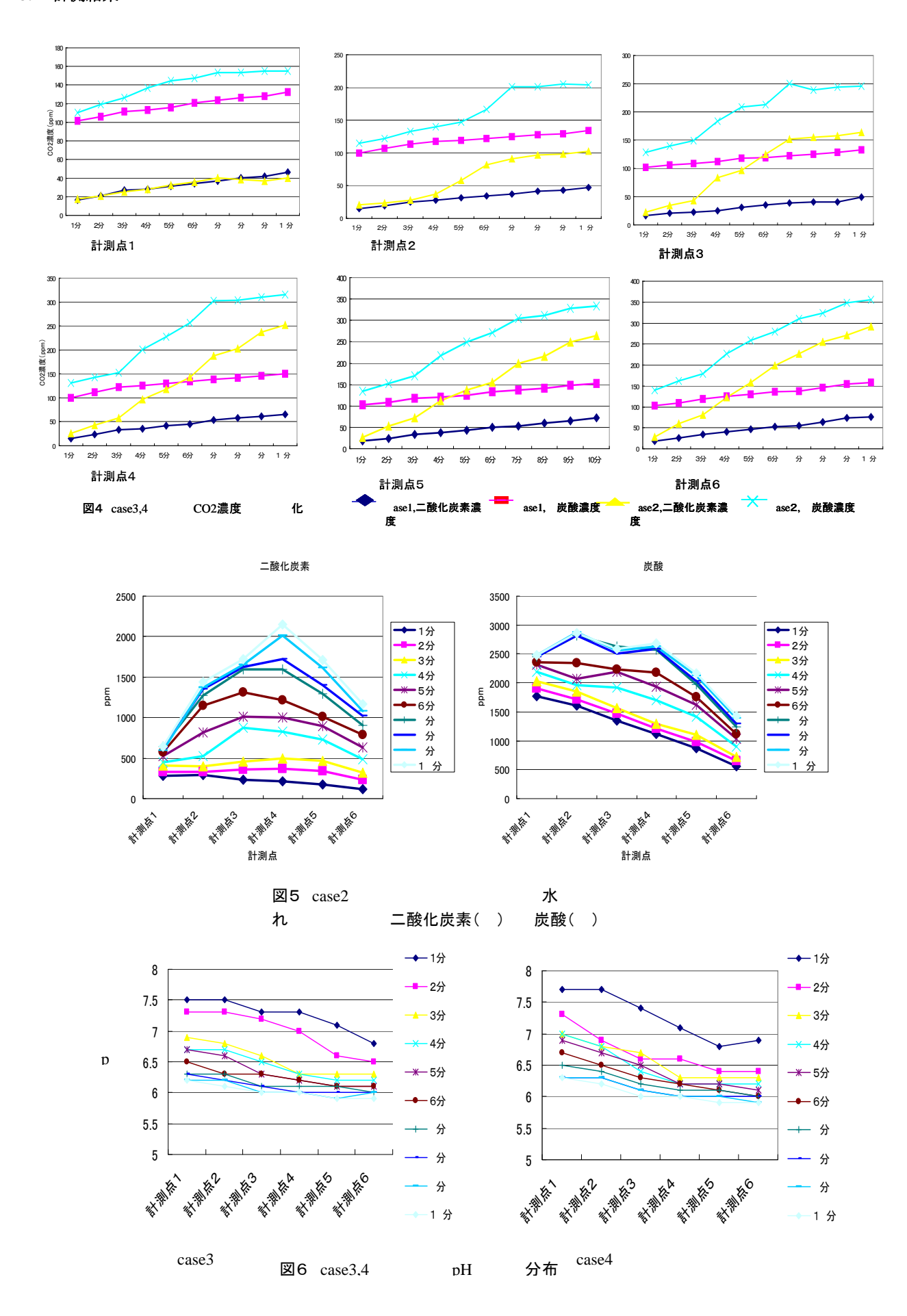
二酸化炭素は水に溶解すると次式に示すように3つの無機炭素の形態をとる。 $(HCO_3$ は炭酸水素イオン、 CO_3 ²は炭酸イオン)。

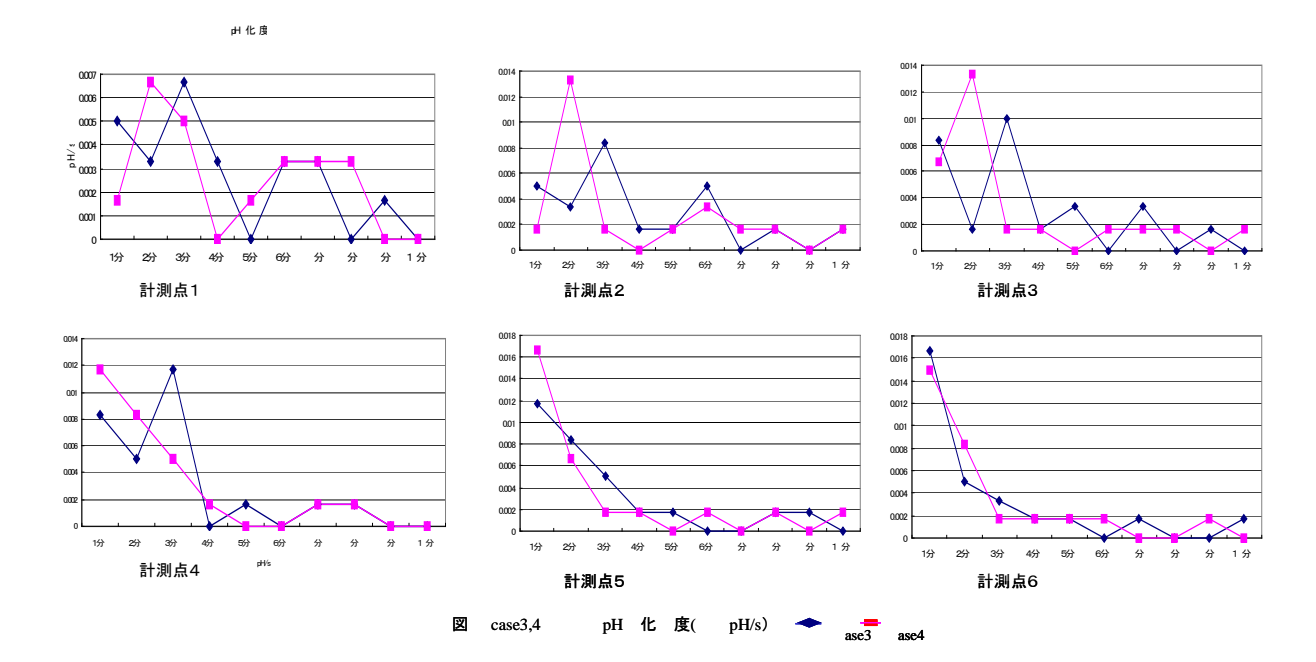
$$CO_2 + H_2O \rightarrow H^+ + HCO_3^- \rightarrow 2H^+ + CO_3^{2-}$$

一般に海水は、溶存二酸化炭素・炭酸水素イオン・炭酸イオンを、およそ 1%・90%・10%含み、pH に応じて図3のようなモル分率の変化を示す。本研究では、pH に応じて変化するイオンについてもイオン強度剤を添加してして計測し、溶存二酸化炭素二酸化炭素に加え全炭酸の時空間変化を調査した。



3. 計測結果





4. 考察

図4は、各計測点における無波浪時(case1)と巻き波 (case2) の溶存二酸化炭素及び全炭酸濃度の時間変化を 表している。Casel の結果は、静水中への気体の分子拡散 のみの輸送による濃度変化を表している。砕波によるエ アレーション及び乱流輸送の影響を受けない砕波点から 沖側 1m の地点である計測点 1 では、case1 と大きく変わ らない。計測点2では造波開始後数分程度までは計測点1 と同様に case1 と明確な差異は発生しないが、その後砕波 帯内で顕著に溶解した気体が徐々に発達してきた戻り流 れにより沖側へ輸送され、穏やかに増加する。砕波帯内 では、造波開始と共に溶存炭酸ガス及び全炭酸両者が単 調増加し、その増加量は水深が浅い岸側に向かっておお きくなる。これは水中へ輸送された炭酸ガスが単位面積 あたりの水柱の体積の小さい流体に溶解し濃度が相対的 に増加した結果である。全炭酸は流体の pH から推算する とそのほとんどが溶存二酸化炭素と炭酸水素イオンを示 していると考えられる。(図3参照)。初期的に全炭酸 を支配していた炭酸水素イオンが造波時間の経過と共に 相対的に低下し、この傾向は砕波の進行と共に顕著とな ることがわかる。これは二酸化炭素の溶解と共に低下す る pH に応じて相対的に溶存二酸化炭素が支配的になるこ とから説明できる。

図5は単位面積あたりの水柱内の溶存二酸化炭素及び全炭酸のネットの量の岸沖分布を表している。溶存二酸化炭素は着水点(計測点4)で最大値をとり砕波の進行に伴い減少していく。すなわちエアレーションの活発な領域を中心として溶存二酸化炭素が分布していることを表している。一方、全炭酸は後に示す炭酸ガス輸送の結果として現れるpHの低下に伴い炭酸ガス濃度の高い砕波帯において顕著な増加を示さないことがわかる。

図6は海水のpHを岸沖分布について砕波形態に対して比較したものである。崩れ波砕波(case3)では砕波点から岸方向へ緩やかに低下するpH分布をもつが、巻き波砕波

(case4) では砕波後、高い低下率で pH が減少し、その時間変化も大きい。大量の気泡が海中に混入される巻き波砕波はそのエアレーション効果により気体輸送速度を増加させていることがわかる。

図7は case3、4 について各計測点における pH 変化速度 の時間変化を表している。着水後の領域において造波開始後初期で顕著な pH の低下が現れ、その低下率は指数関数的に減少することがわかる。

5. 結論

- 1. 溶存二酸化炭素はエアレーションの活発な砕波着水点で最大値を示すのに対し全炭酸は砕波帯において顕著な増加を示さない。
- 2. 巻き波砕波はエアレーション効果が崩れ波よりも高く 大量の気泡が混入されるため気体輸送速度が崩れ波より 早い。
- 3. 巻き波、崩れ波ともに着水後の領域において造波開始 後初期で顕著な pH の低下が現れ、その低下率は指数関数 的に減少する

6. 参考文献

- 1) 地球環境フロンティアホームページ (http://www.jamstec.go.jp/frcgc/jp/index.html)
- 2) 渡部靖憲ら:砕波波面直下の縦渦遷移と熱・物質拡散率について、海岸工学論文集、第52巻 (2005)